

宮崎大学工学部 正員 荒巻英次  
同 同 横田漢  
同 同 藤木廣

## 1. まえがき

著者らは、シラスの動的特性に関して一連の実験を行ってきたが、今回、それを明確にする上において必要な豊浦標準砂についての一応の実験結果を得たので、それとの比較によつて乱したシラスの動的強度特性について考察を行なうものである。土の動的特性は、内的や外的の種々の要因によつて影響を受けるのであるが、本報告においてはこれらの要因のうち、測定  $\sigma_{3c} = 0.5 \text{ kN/cm}^2$ 、振動数  $f = 10\%$  の条件下における標準砂の実験結果を前回の粒度調整シラスの実験 ( $\sigma_{3c} = 0.5 \text{ kN/cm}^2$ ,  $f = 10\%$ ) 結果と比較対照を行い、シラスの動的強度特性の一部を明らかにした。

## 2. 試料及び実験方法

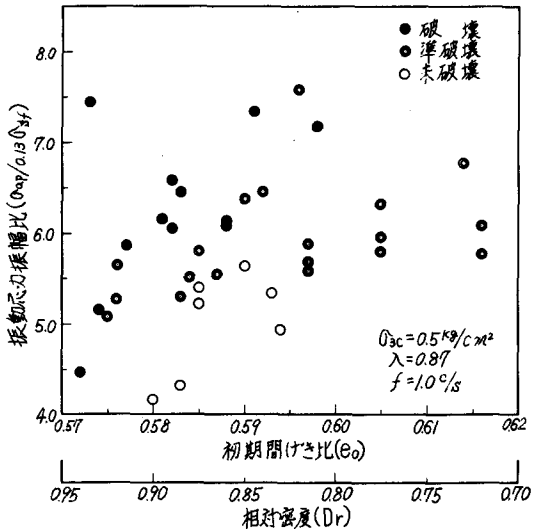
実験に使用した試料は、豊浦標準砂と鹿児島県都城市門の尾のシラスである。シラスは標準砂の粒度分布に近似するよう  $0.42 \sim 0.105 \text{ mm}$  の範囲に粒度調整した。なお、標準砂は粒子比重  $G_s = 2.64$ 、最大間げき比  $e_{max} = 0.76$ 、最小間げき比  $e_{min} = 0.56$  であり、粒度調整シラスは  $G_s = 2.40$ 、 $e_{max} = 2.09$ 、 $e_{min} = 1.01$  であった。

供試体は直径  $35 \text{ mm}$ <sup>2)</sup>、高さ  $70 \sim 73 \text{ mm}$  の円柱で、いずれも飽和状態とした。実験は Lee の方法に準拠して行なった。

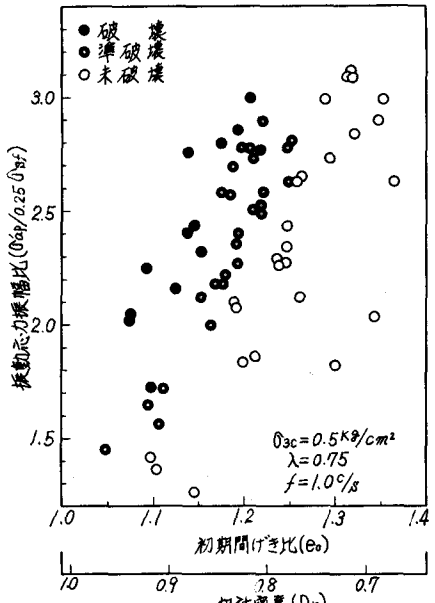
すなわち、まず  $\sigma_{3c}$  で等方圧密し、続いて排水状態のまま静的強度の  $\sigma_f$  のある応力段階、つまり、動荷重が作用する直前の軸方向応力  $\sigma_{dc} = \lambda \sigma_f$  まで ( $\lambda = 0 \sim 1$  までの正の小数) 軸方向に圧縮した。その後非排水状態にして正弦波荷重土の  $\sigma_{ap}$  を軸方向に附加した。この時にせん断応力の反転が生じないように、 $\sigma_{dc} - \sigma_{ap} > 0$  が常に成立するようにした。

## 3. 実験結果と考察

図-1 に、標準砂とシラスの破壊に影響を及ぼす初期間げき比  $e_0$  及び相対密度  $D_r$  と振動応力振幅  $\sigma_{ap}$  の関係を示す。図-1-(a) は標準砂の場合で、軸方向圧縮比  $\lambda = \sigma_{dc}/\sigma_{sf} = 0.87$  の実験結果であり、図-1-(b) はシラスの場合で、 $\lambda = 0.75$  の実験結果である。両図で  $\lambda$  の値が違うのは、標準砂の実験をシラスと同じ  $\lambda = 0.75$  で行ったが、振幅を最大限にしてもほとんど破壊しないので、破壊が起こりやすくなるまで  $\lambda$  の値を上げて



(a) 豊浦標準砂の場合



(b) 粒度調整シラスの場合

図-1 破壊に影響を及ぼす初期間げき比( $e_0$ )及び相対密度( $D_r$ )と振動応力振幅比( $\sigma_{ap}/(\lambda \sigma_{dc})$ )との関係

図-1 破壊に影響を及ぼす初期間げき比( $e_0$ )及び相対密度( $D_r$ )と振動応力振幅比( $\sigma_{ap}/(\lambda \sigma_{dc})$ )との関係

いた結果、異なる値となったのである。両者の $\epsilon_0$ の範囲は異なるが、 $D_r$ では両者ともにほぼ同じ範囲の実験結果であるといえる。破壊・準破壊・未破壊の定義は、便宜的に $N \leq 100$ で破壊したものを破壊、 $100 < N \leq 1000$ で破壊したものを準破壊、それでも破壊しなかつたものを未破壊としている。両者の破壊と未破壊の傾向は一致している。両者ともに、同一 $\epsilon_0$ では振動応力振幅比の大なる場合に破壊が多くみられ、同一振動応力振幅比では $\epsilon_0$ の小なる場合に破壊が多くみられる。しかし、破壊に対する振動応力振幅比の影響は、両者でかなり違う。

標準砂の場合、振幅比 $O_{ap}/O_{sf}$ が4.5～7.5倍以上で破壊しているのに対して、シラスの場合は、振幅比 $O_{ap}/O_{sf}$ が1.7～3.0倍以上で破壊しており、明らかにシラスが標準砂よりもこわいやすいといえる。

図-2に、標準砂とシラスの破壊に影響を及ぼす軸方向圧縮比入と振動応力振幅 $O_{ap}$ の関係を示す。図-2-(a)は標準砂の場合の実験結果で、図-2-(b)はシラスの場合の実験結果である。両者の破壊時の振動回数 $N$ の分布状況の特徴は判然としないが、標準砂に対して $N = 120 \sim 130$ ライン、シラスに対して $N = 210 \sim 220$ ラインはつかめらか、図中の点線で表している。

図-3に、標準砂とシラスの破壊に影響を及ぼす振動回数 $N$ と振動応力振幅 $O_{ap}$ の関係を示す。図-3-(a)は標準砂の入=0.87の実験結果で、 $\epsilon_0 = 0.58, 0.59$  ( $D_r = 0.90, 0.85$ ) の場合である。図-3-(b)はシラスの入=0.75の実験結果で、 $\epsilon_0 = 1.19, 1.22$  ( $D_r = 0.833, 0.806$ ) の場合である。両者の傾向は同様であり、振動応力振幅比が減少すれば、破壊に必要な $N$ はほぼ同様な形で増加している。なお、シラスは標準砂に比べて $N$ の小さい領域でも破壊がみられるようである。

#### 4. まとめ

えたシラスの動的強度特性が一部明らかになった。すなわち、シラスの動的強度は標準砂のそれに比べて明らかに弱いということが認められた。今後、破壊に影響を及ぼす他の要因についても実験をかさね、前記のことについてもさらに検証して行きたいと考えている。

#### (参考文献)

- 1) 森本・横田:荒巻(1977): まきシラスの動的強度および変形特性(その1) 地盤工学新技術報告 第2号, pp.25~31
- 2) K.L.Lee, H.B.Seed: Dynamic strength of anisotropically consolidated sand, ASCE, Vol.93, SM5, pp.169~190

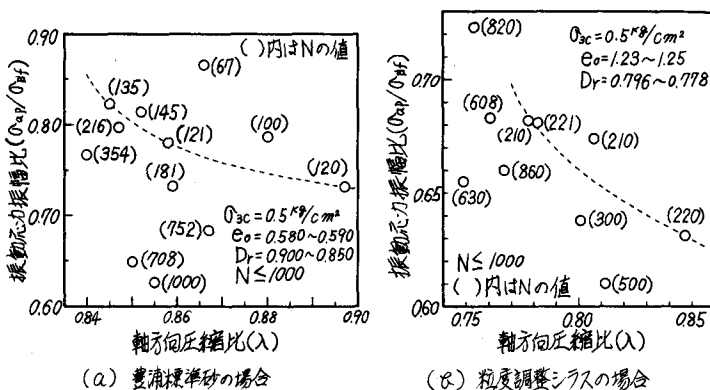
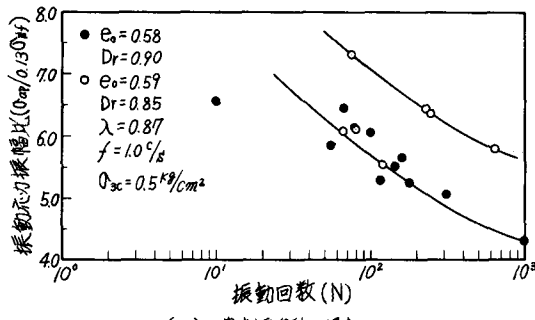
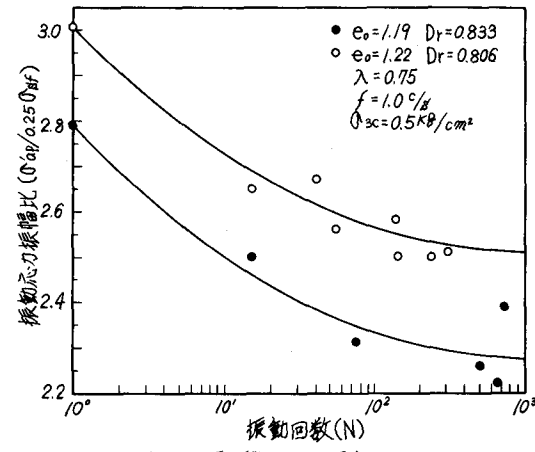


図-2、破壊に影響を及ぼす軸方向圧縮比( $\lambda$ )と振動応力振幅比( $O_{ap}/O_{sf}$ )との関係



(a) 豊浦標準砂の場合



(b) 粒度調整シラスの場合

図-3、破壊に影響を及ぼす振動回数( $N$ )と振動応力振幅比( $O_{ap}/O_{sf}$ )との関係